

# MODIFIED CA MODEL BASED ON TWO COUPLED VAN DER POL - MULTIVIBRATOR AND NONLINEAR CURRENT MEDIUM

*Sergey Belyakin*

Department of General physics, Faculty of Physics,  
Lomonosov Moscow State University, Russia



In This paper, we consider a  
nonlinear current medium of  
cardiac arrhythmia  
represented by coupled,  
continuous-time differential  
equations,  
van Der Pol - multivibrator.



# Виды остановки кровообращения

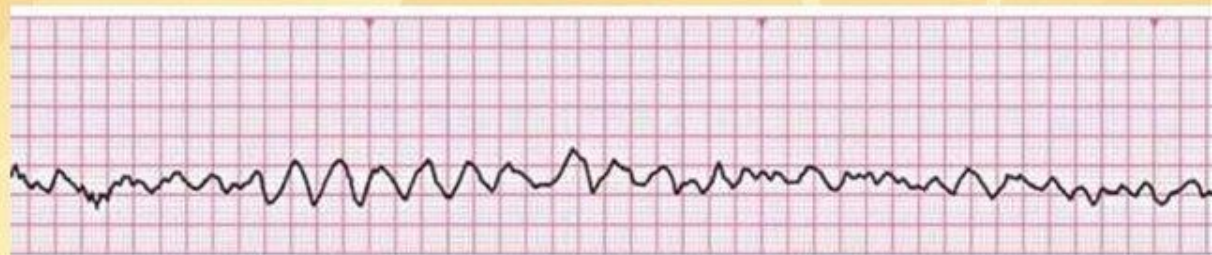
**Фибрилляция желудочков (ЖТ без пульса)**  
**70-80% случаев**

**Асистолия 10-29% случаев**

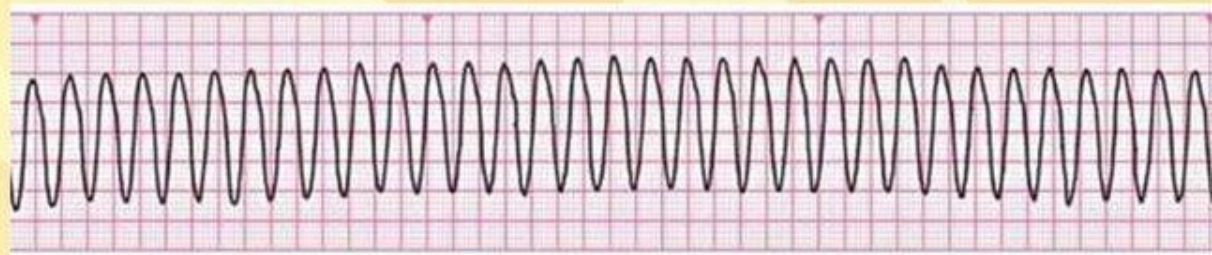
**Электромеханическая диссоциация 3%**  
**случаев**

# ЭКГ - диагностика остановки сердца

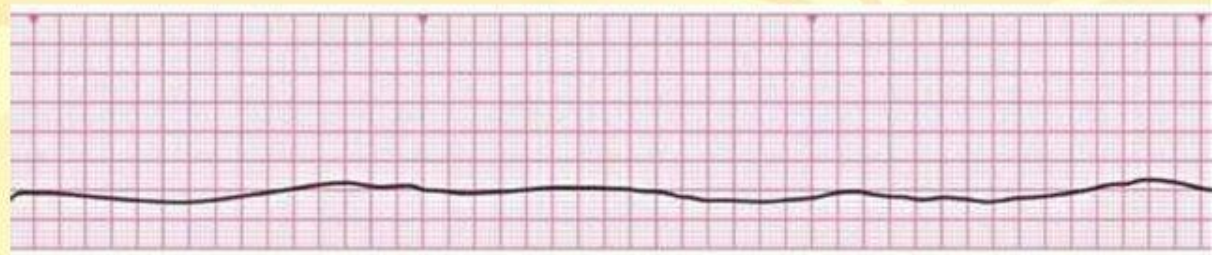
**Фибрилляция  
желудочков**



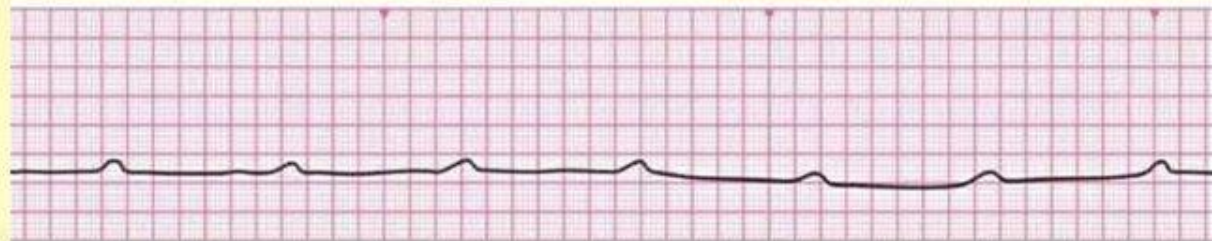
**Желудочковая  
тахикардия (без  
перфузии / пульса)**



**Асистолия**

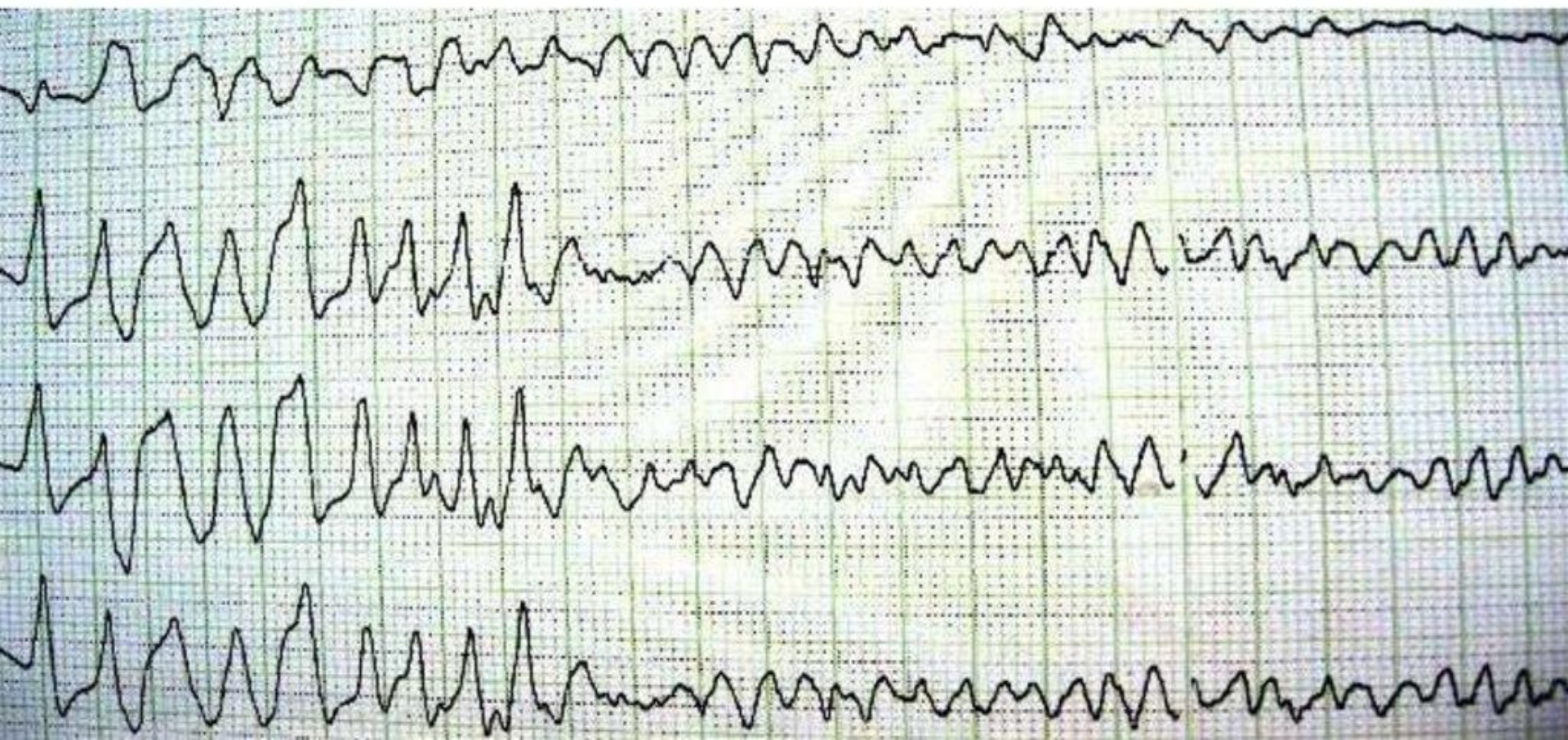


**Электрическая  
активность без  
перфузии / пульса**



# Фибрилляция желудочков

– сопровождается дискоординированной работой миокарда, приводящей к быстрой остановке сердца.

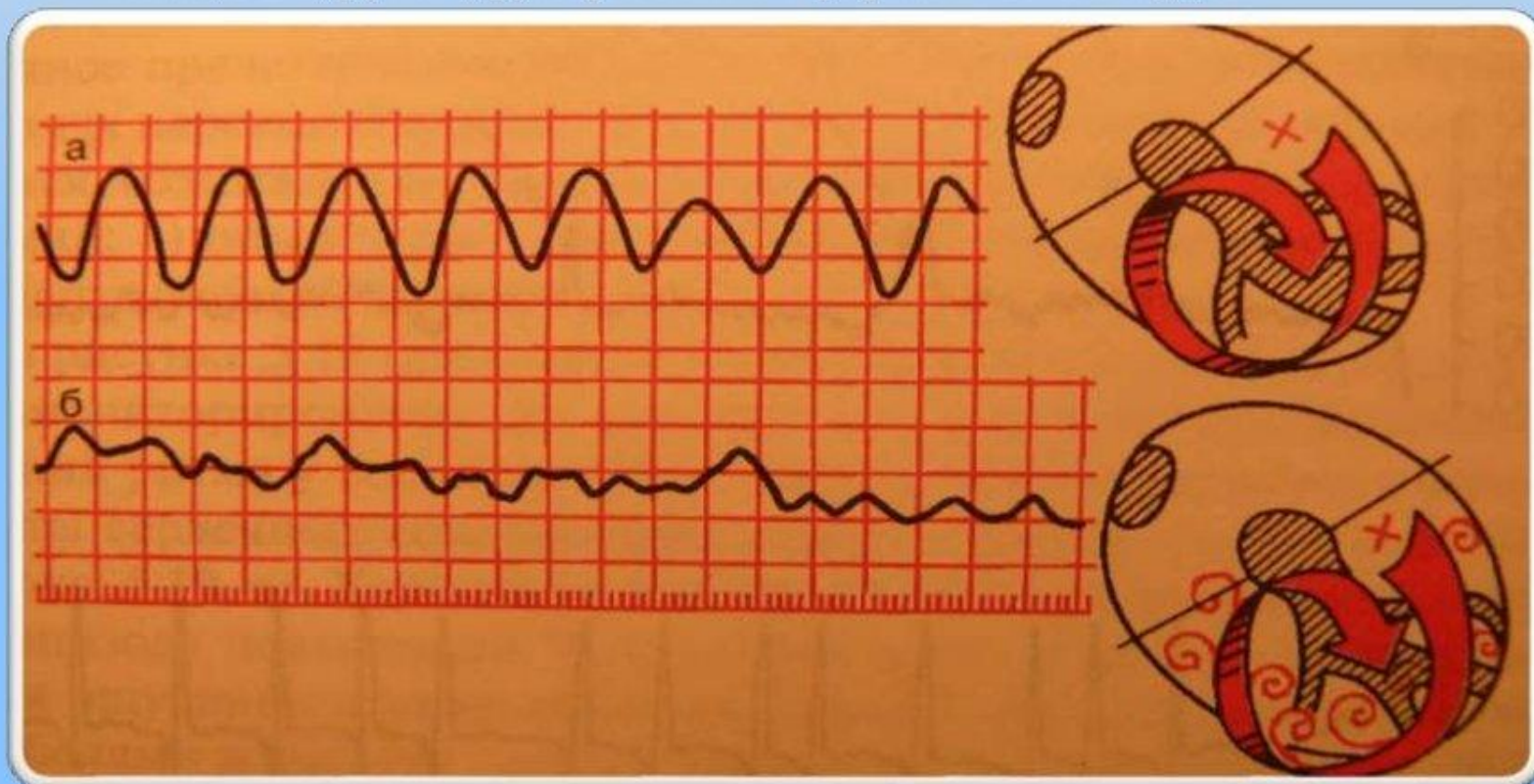


## Трепетание (а) и мерцание (б) желудочков

**Экг:**

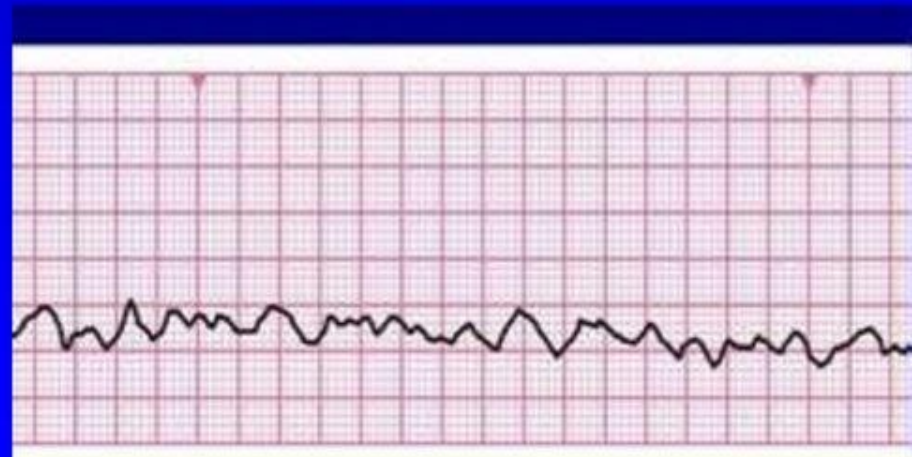
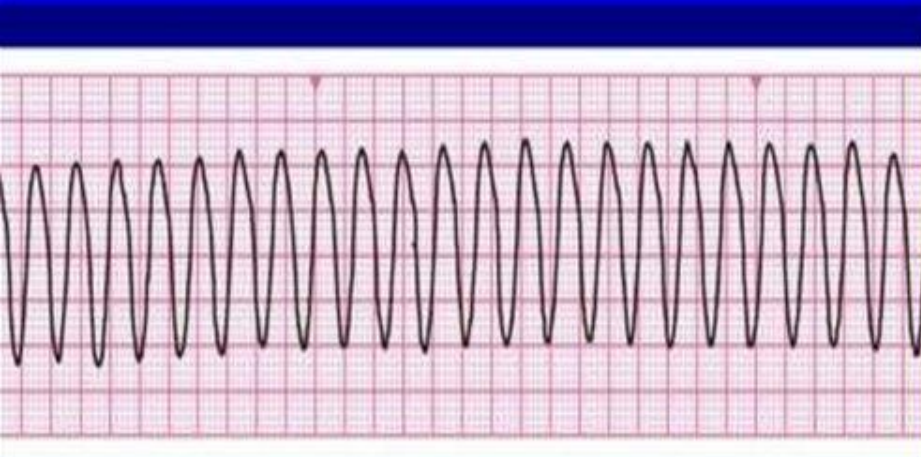
Частые до 200- 300 в минуту регулярные и одинаковые по форме и амплитуде волны трепетания, напоминающие синусоидальную кривую

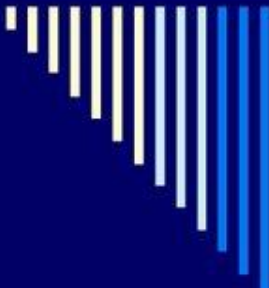
При мерцании желудочков регистрируются частые, но нерегулярные волны, отличающиеся друг от друга различной формой и амплитудой



# Фибрилляция желудочков

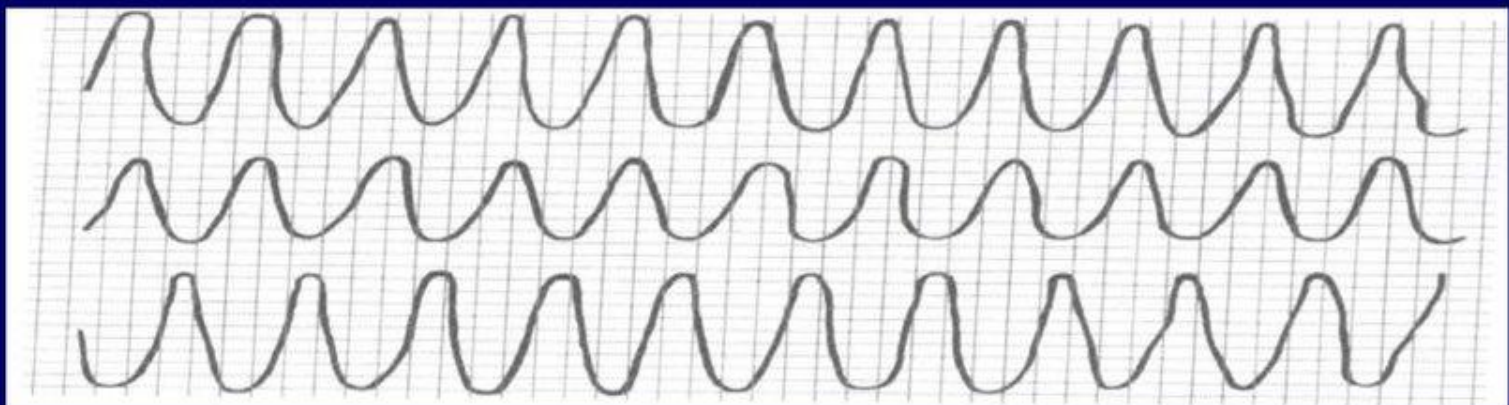
- Неопределенные нерегулярные волны
- Нераспознаваемые комплексы QRS
- Произвольная частота и амплитуда
- Некоординированная электрическая активность
- Крупно / мелковолновая фибрилляция





# Трепетание желудочков

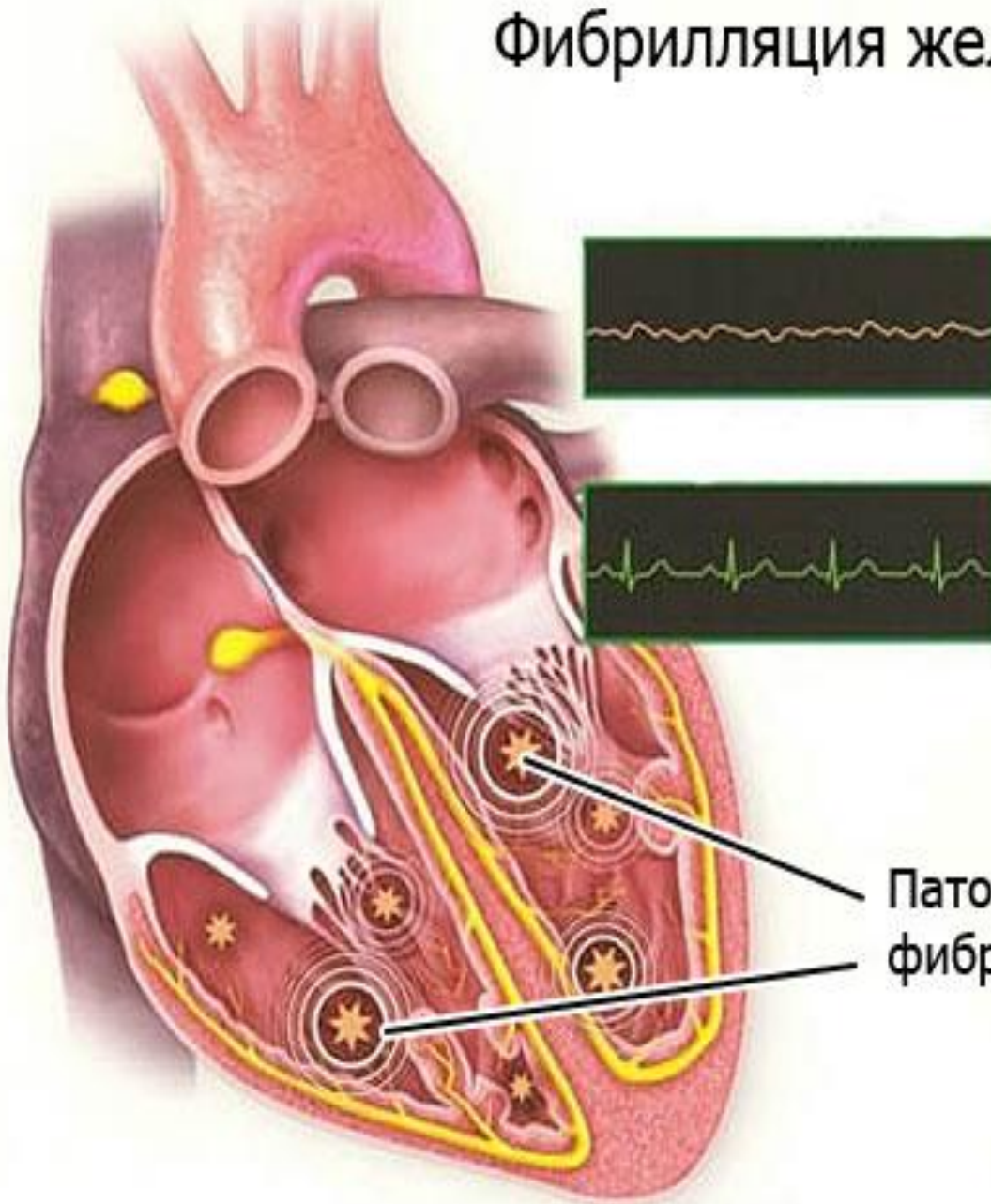
частые регулярные, но неэффективные сокращения желудочков (180-250 в 1 минуту).



## ЭКГ-признаки:

- регулярные частые высокоамплитудные осцилляции до 180-250 в 1 минуту (по типу синусоидной кривой)
- отсутствие дифференцируемых элементов ЭКГ (комплекса QRS, сегмента ST, зубца T)

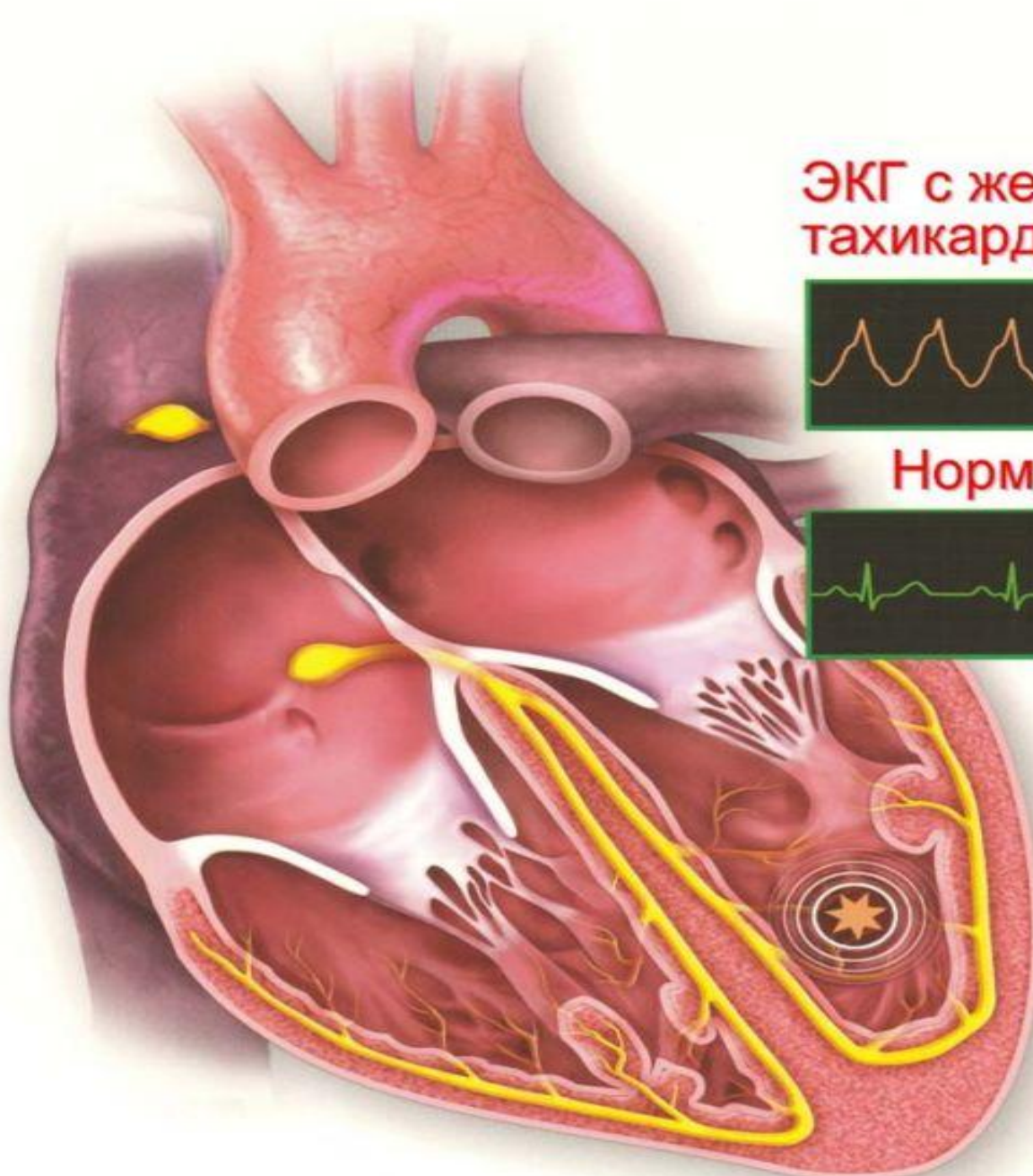
# Фибрилляция желудочков



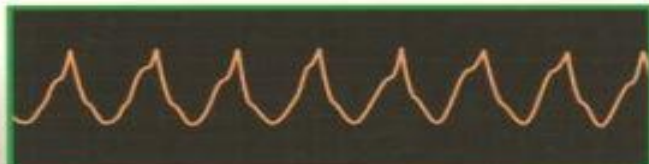
ЭКГ при фибрилляции  
желудочков

ЭКГ в норме

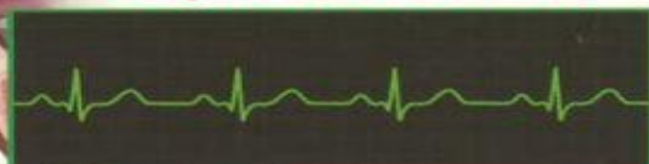
Патологические импульсы при  
фибрилляции желудочков



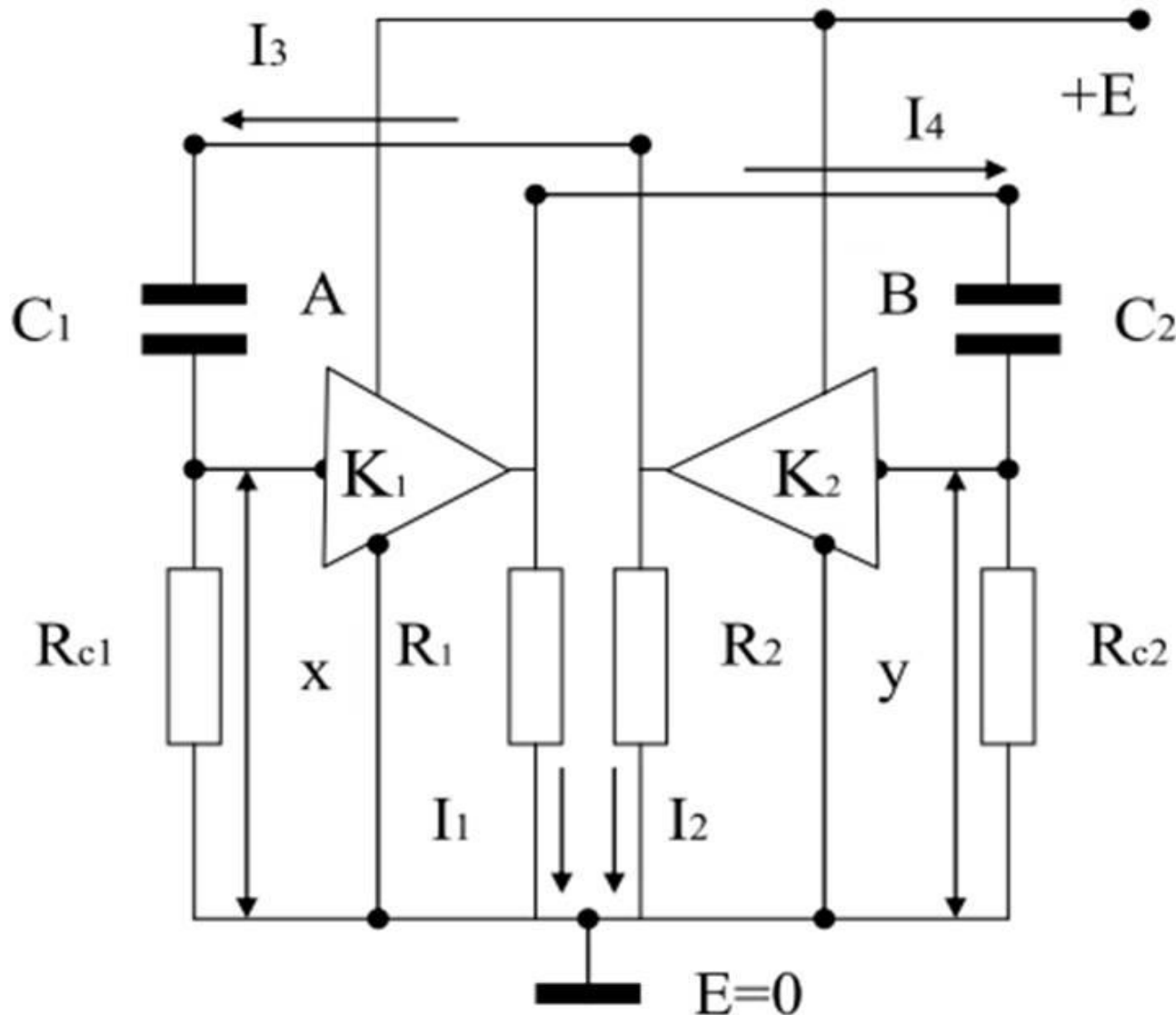
ЭКГ с желудочковой тахикардией



Нормальная ЭКГ



# MULTIVIBRATOR



# The equation describe the nonlinear oscillations in the multivibrator

1) Kirgof's law in the absence of input currents:

$$0 = R_1 I_1 + \frac{1}{C_2} \int I_4 dt + y; \quad 0 = R_2 I_2 + \frac{1}{C_1} \int I_3 dt + x.$$

2) Transformation of Kirgof's law:

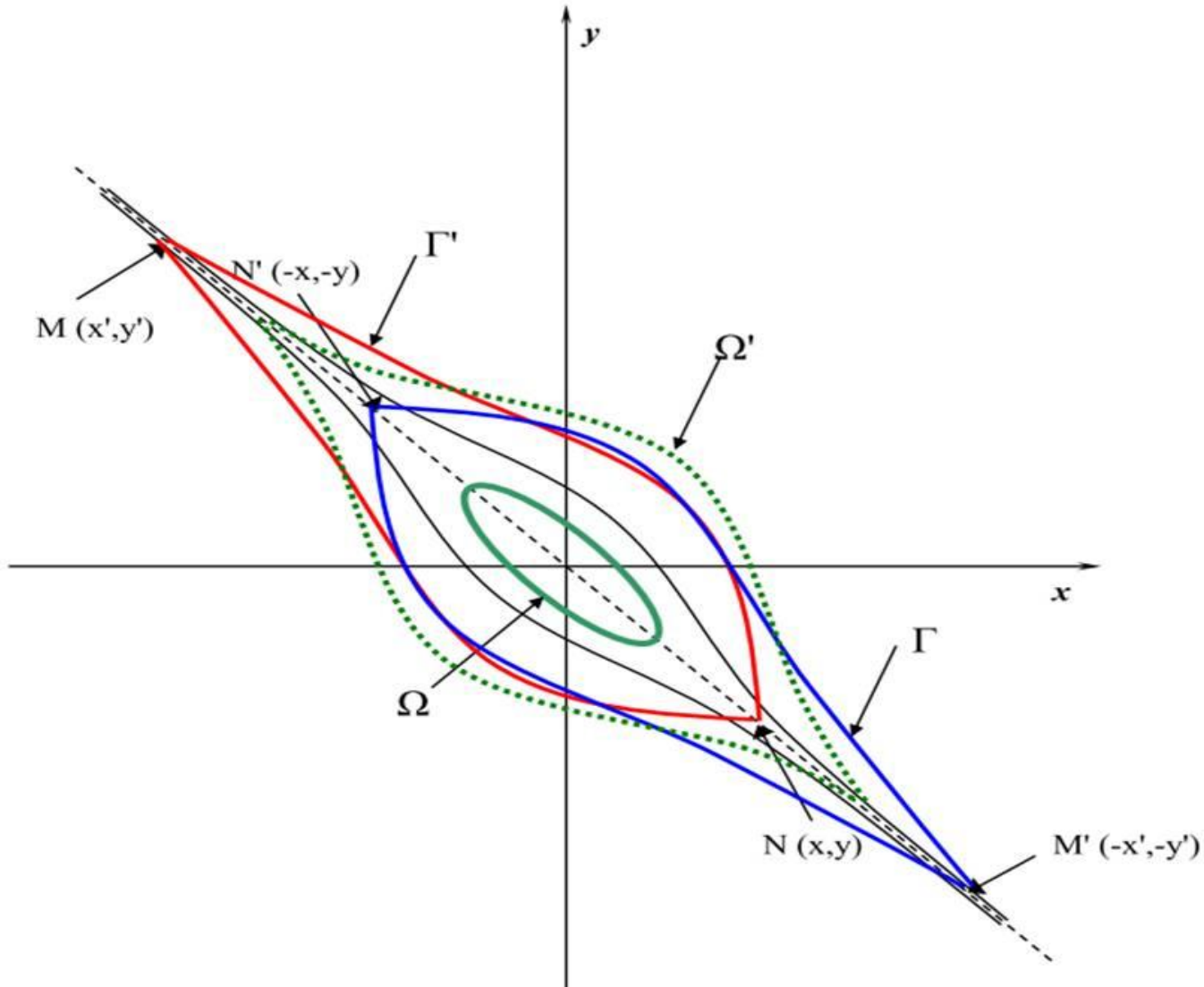
$$x = R_{c1} I_3; \quad y = R_{c2} I_4; \quad K_1 x = R_1 I_1; \quad K_2 y = R_2 I_2.$$

$$\tau_1 = C_1 R_{c1}; \quad \tau_2 = C_2 R_{c2}$$

$$\ddot{x} - \frac{1}{K_1 K_2 - 1} \left( \frac{1}{\tau_1} + \frac{1}{\tau_2} \right) \dot{x} - \frac{1}{K_1 K_2 - 1} \cdot \frac{1}{\tau_1 \tau_2} x = 0$$

# Phase portrait of a multivibrator

$\Omega$ -sin mode,  $\Omega'$  - RO regular mode,  $(\Gamma, \Gamma')$  - amplitude-time chaos mode



## Modified current CA model on the basis of the multivibrator

$$\ddot{x} + \dot{x} \frac{2\tau^{-1}}{1-K^2} + x \frac{\tau^{-2}}{1-K^2} = 0$$

$$R\dot{x} + C^{-1} \left[ x \left( 1 + \frac{x^2}{u^2} \right) - u \right] = 0 \quad \tau \dot{x} + x \left( 1 + \frac{x^2}{u^2} \right) - u = 0$$

$$\ddot{x}\tau^2 + \dot{x} \frac{2\tau}{1-\mu^2} + x \frac{1}{1-\mu^2} = \mu\tau^2(\ddot{y} + \ddot{z}),$$

$$\ddot{y}\tau^2 - \dot{y}\tau \left( 1 - \frac{y^2}{u^2} \right) + y = -\mu\tau^2 \ddot{x},$$

$$\dot{z}\tau + z \left( 1 + \frac{z^2}{u^2} \right) - u = -\mu\tau^2 \ddot{x} .$$

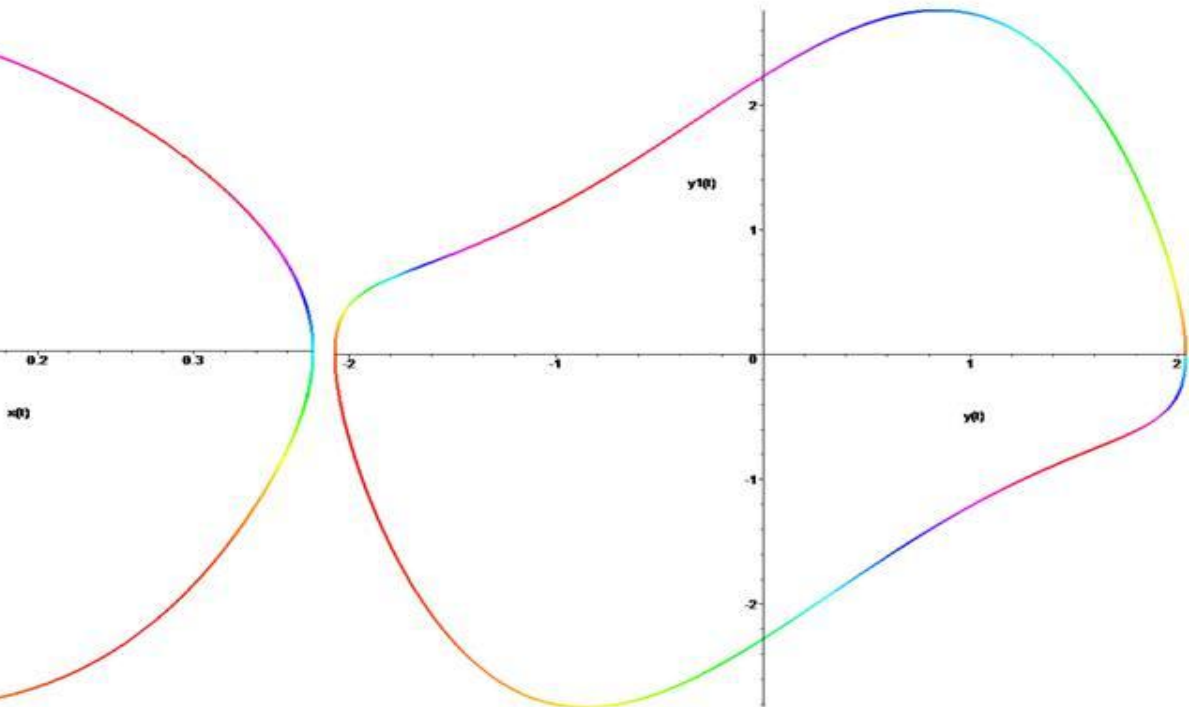
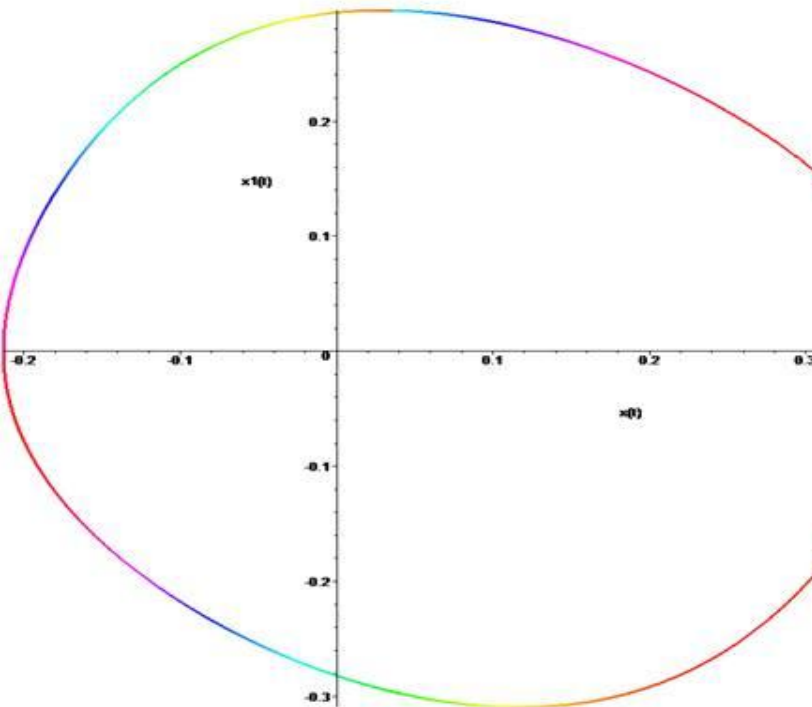
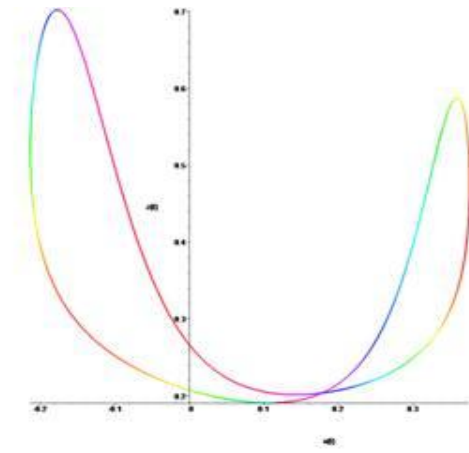
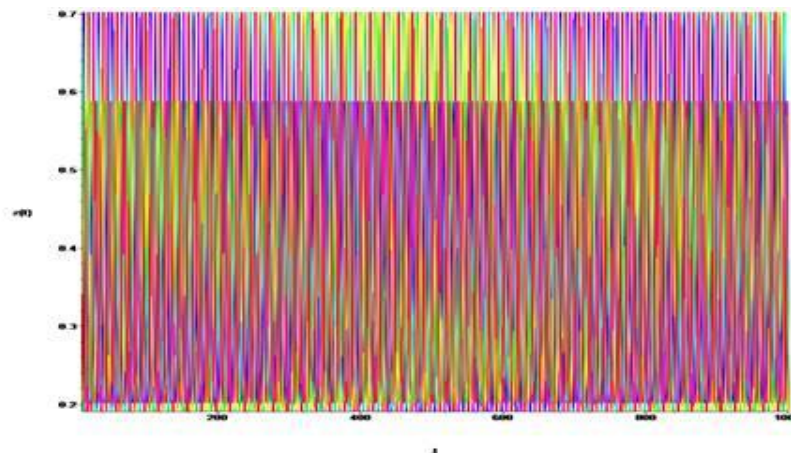
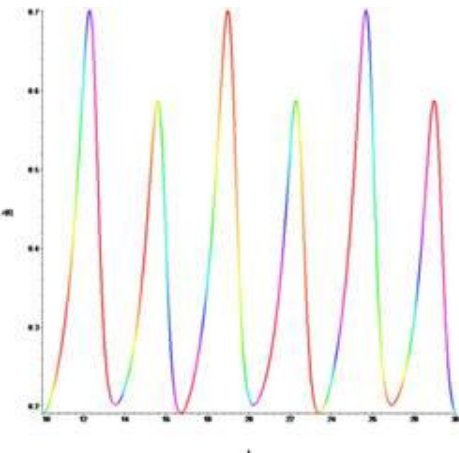
The mathematical model of CA is a system of three differential equations of the second order, with elements of feedbacks and external periodic action  $f = A\sin(2\pi nt/\tau)$

$$\ddot{x}\tau^2 + \dot{x} \frac{2\tau}{1-\mu^2} + x \frac{1}{1-\mu^2} = \mu\tau^2(\ddot{y} + \ddot{z}),$$

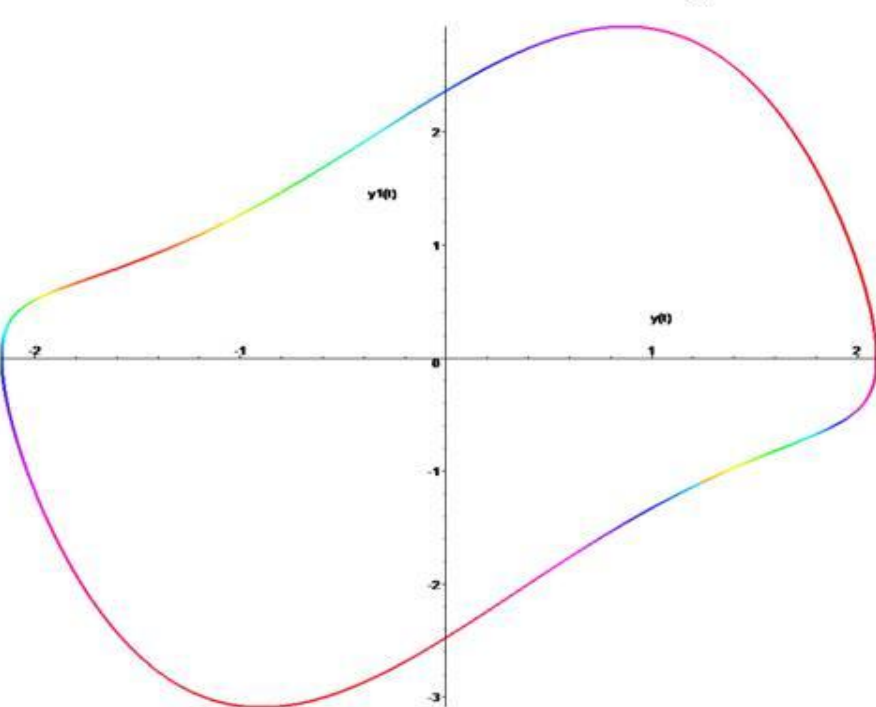
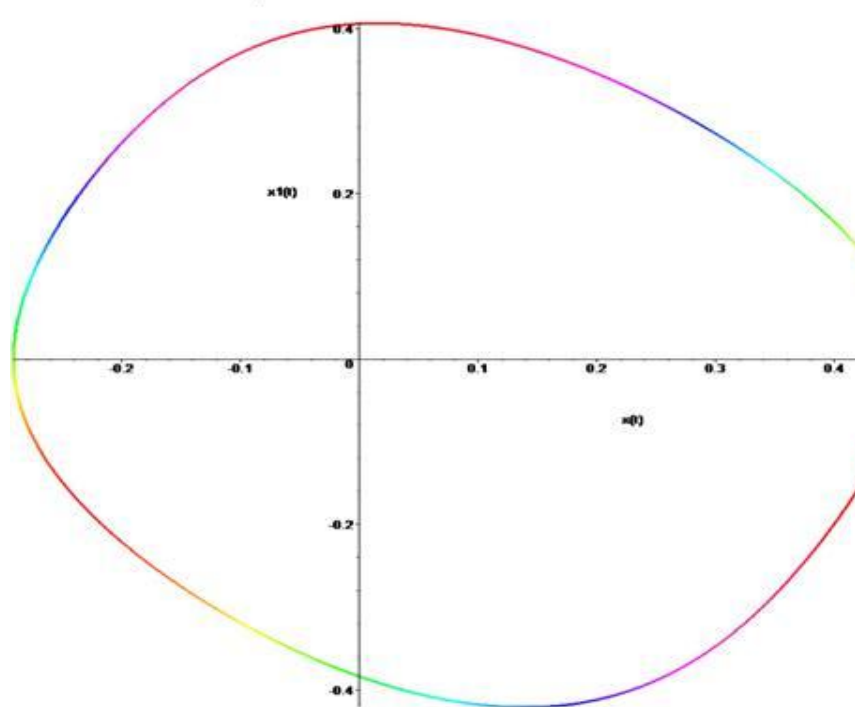
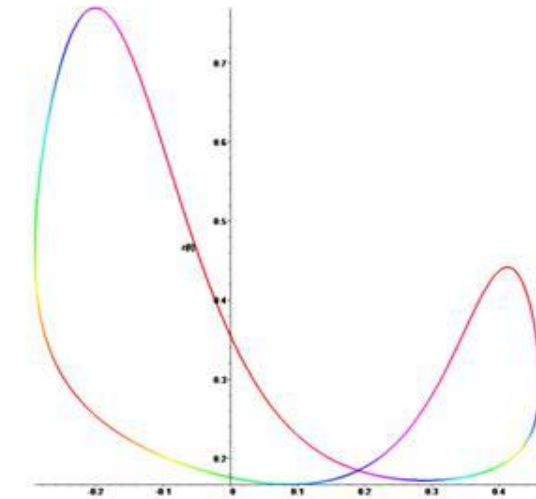
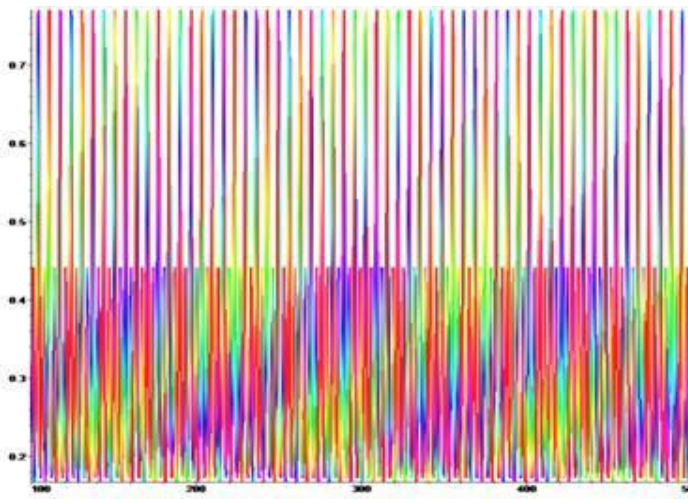
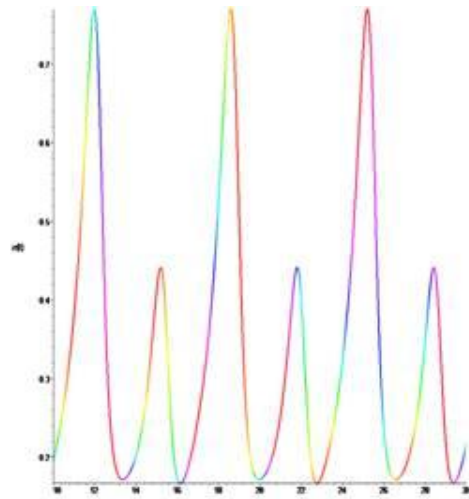
$$\ddot{y}\tau^2 - \dot{y}\tau\left(1 - \frac{y^2}{u^2}\right) + y = -\mu\tau^2\ddot{x} + A\sin\left(\frac{2\pi nt}{\tau}\right),$$

$$\dot{z}\tau + z\left(1 + \frac{z^2}{u^2}\right) - u = -\mu\tau^2\ddot{x}.$$

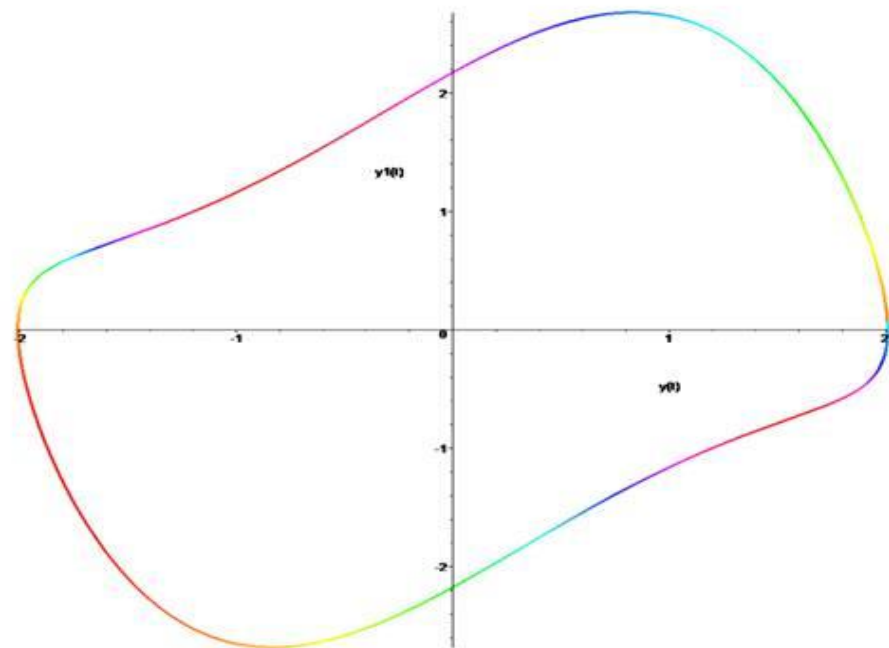
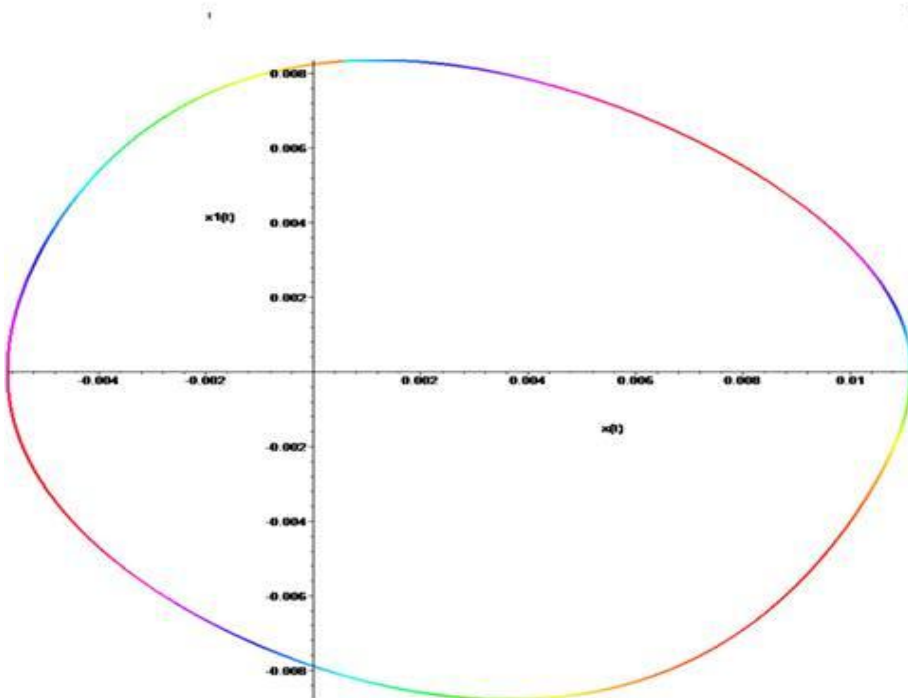
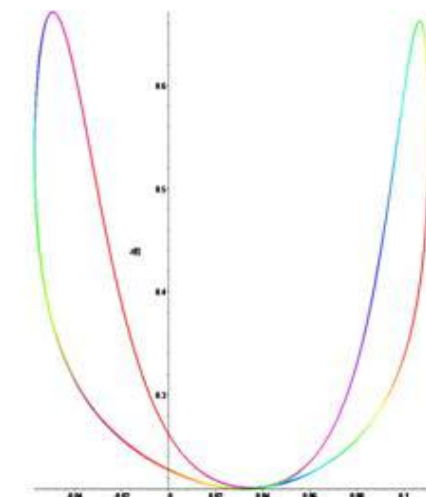
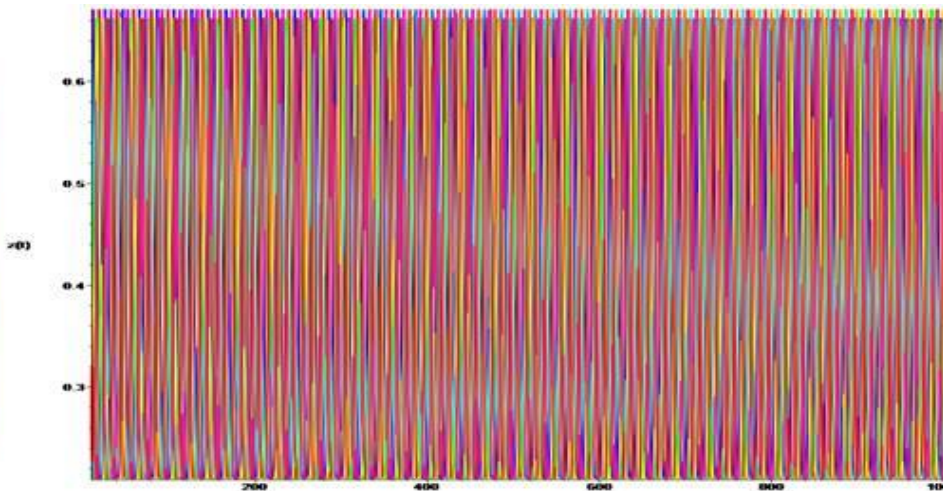
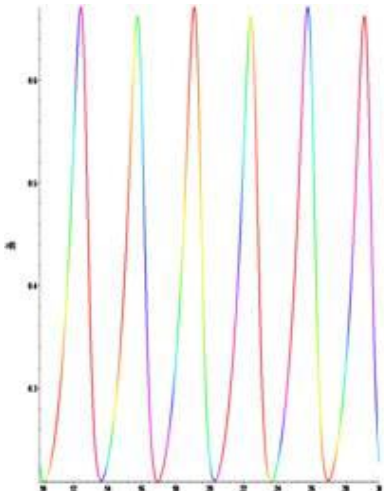
$A=0.0, u=1, \mu=0.3, \tau=1$



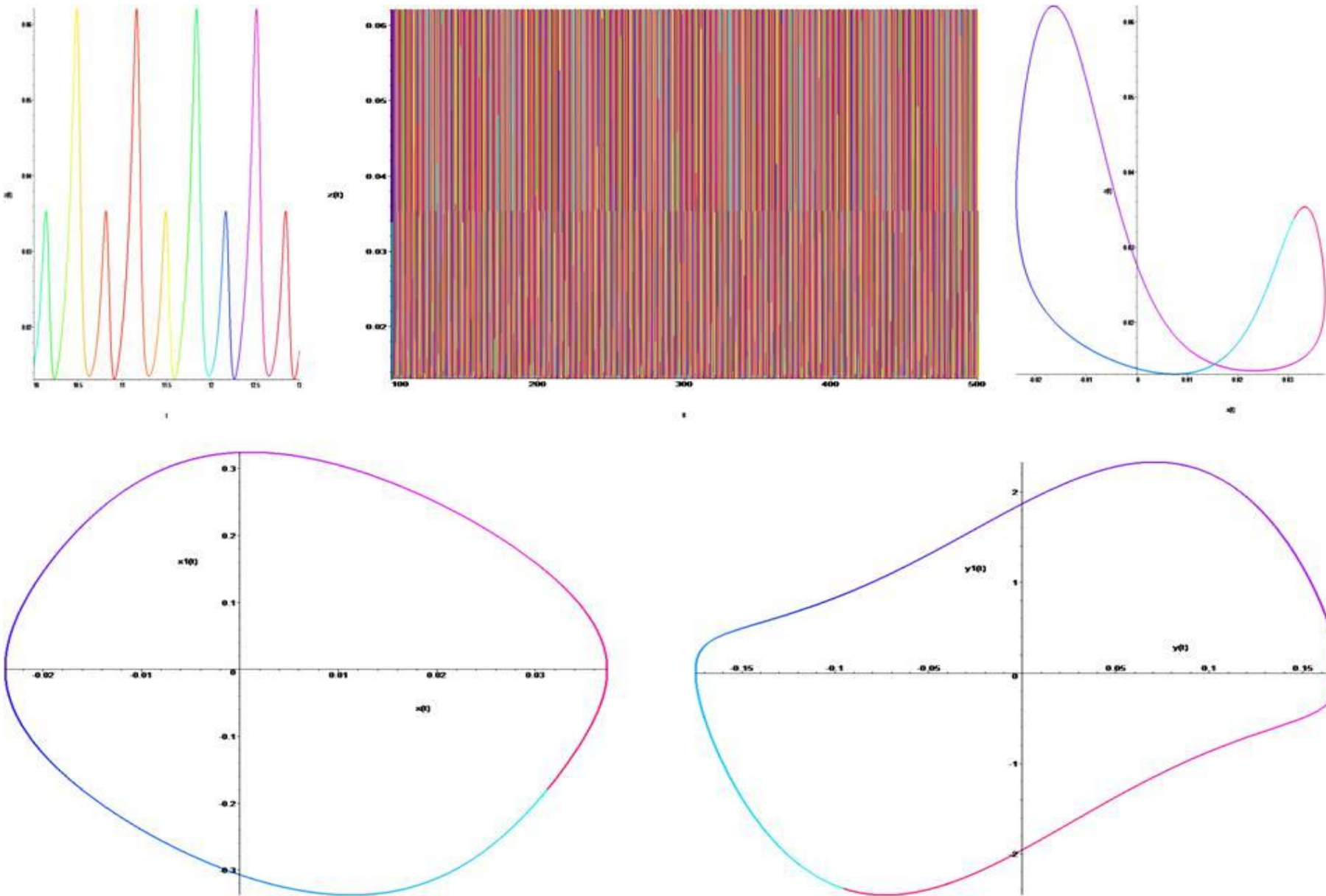
$A=0.0, u=1, \mu=\sqrt{0.5}, \tau=1$



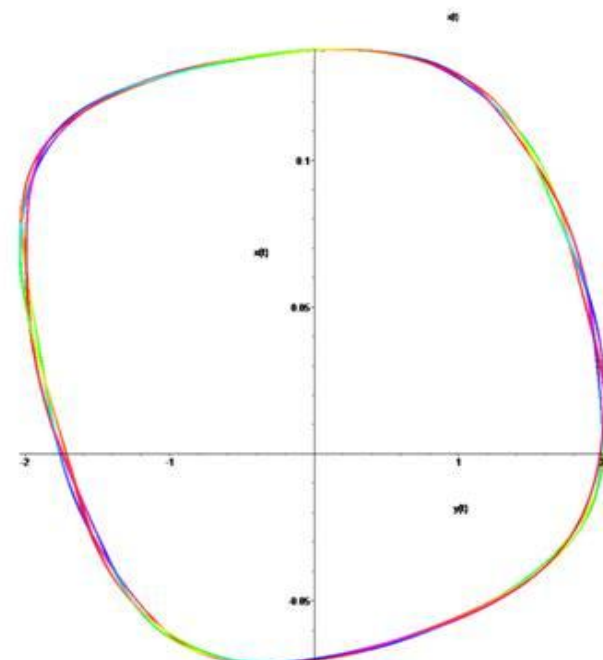
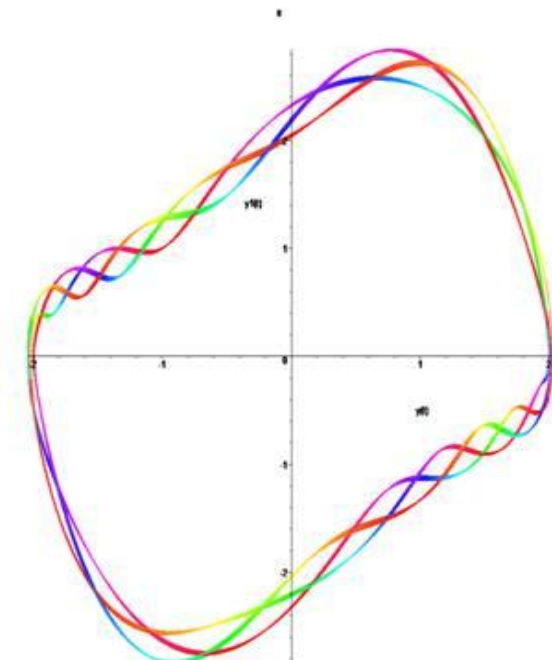
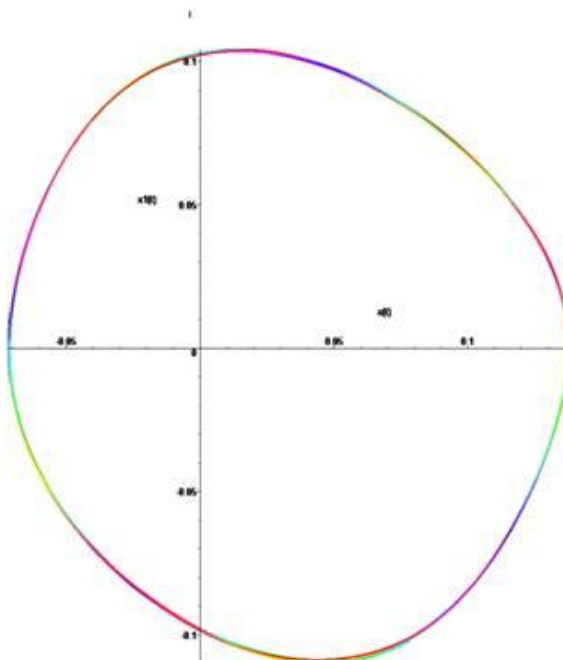
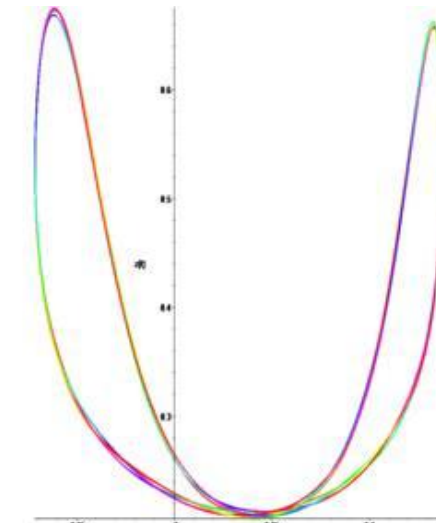
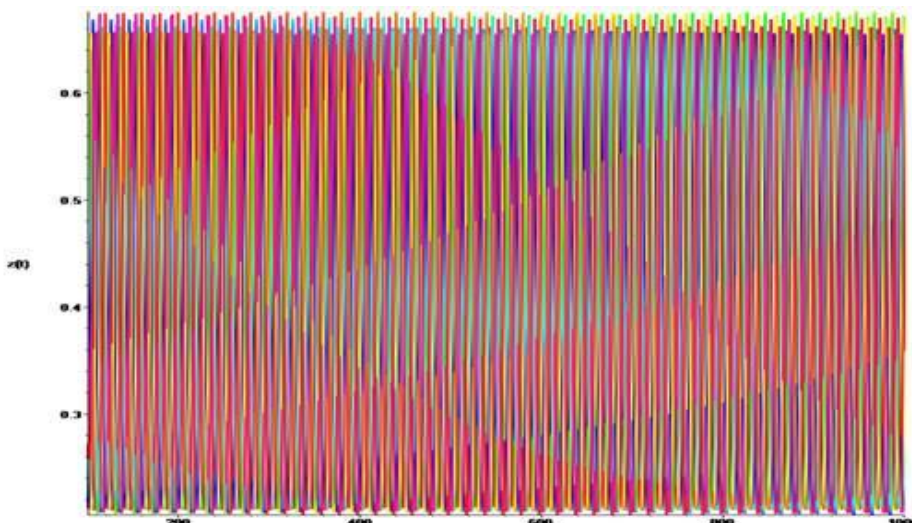
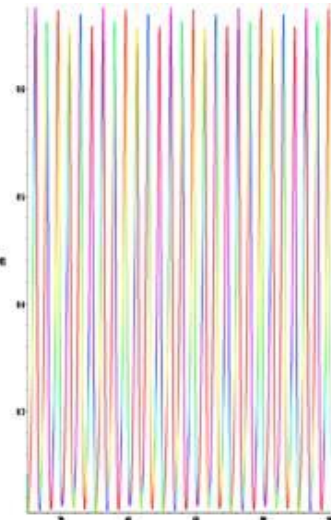
$A=0.0, u=1, \mu=0.008, \tau=1$



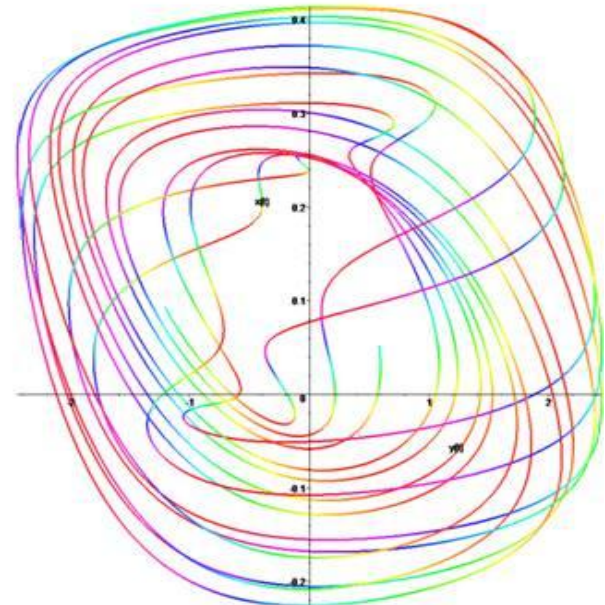
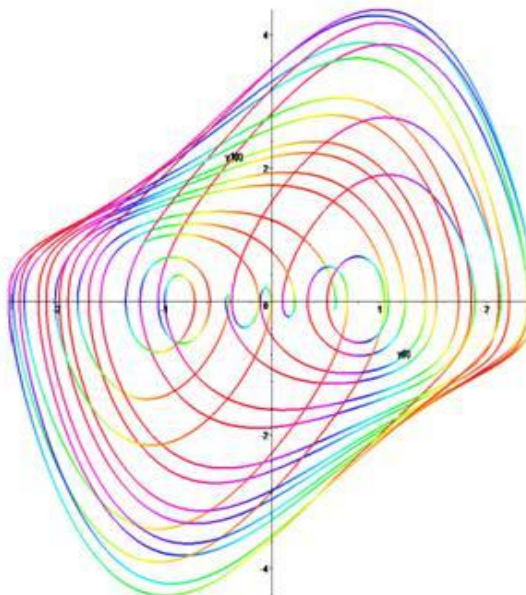
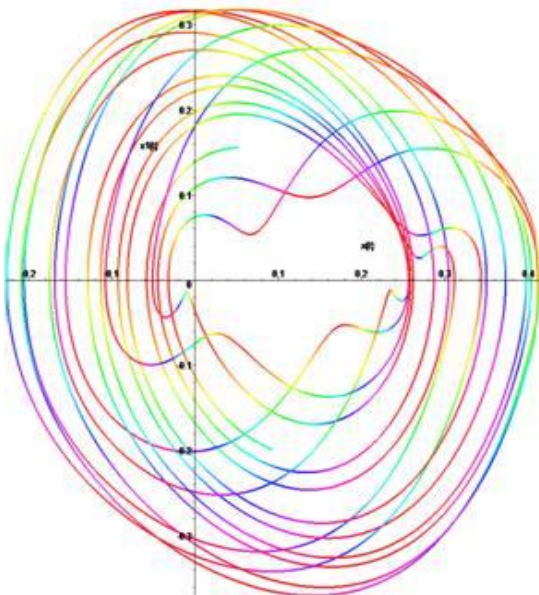
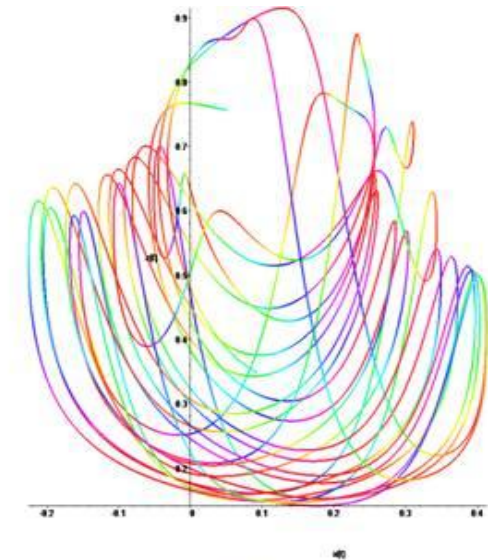
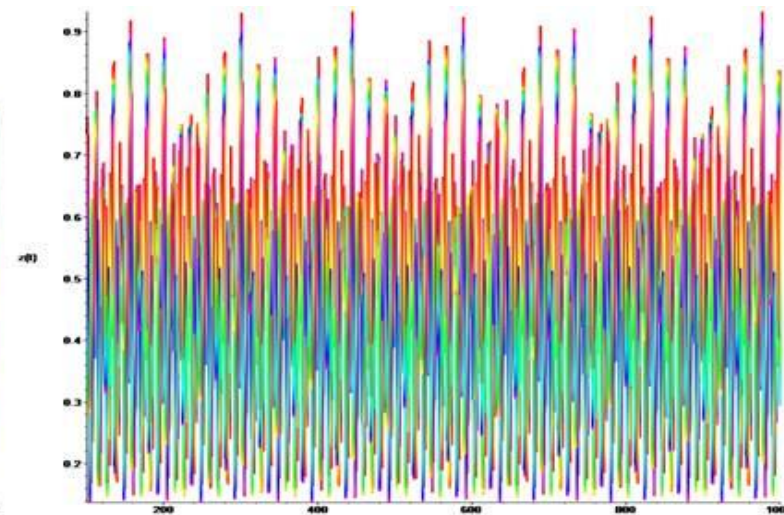
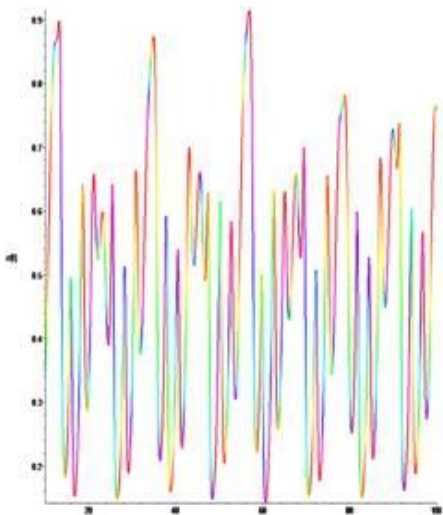
$A=0.0$ ,  $u=0.08015$ ,  $\mu=\sqrt{0.5}$ ,  $\tau=0.1015625$

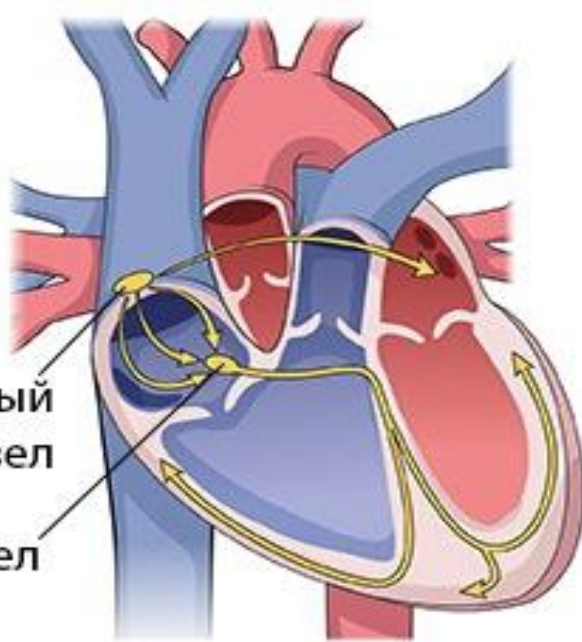


$A=1.0, u=1, \mu=0.1, n=1, \tau=1$



$A=2.0, u=1, \mu=0.3, n=0.25, \tau=1$

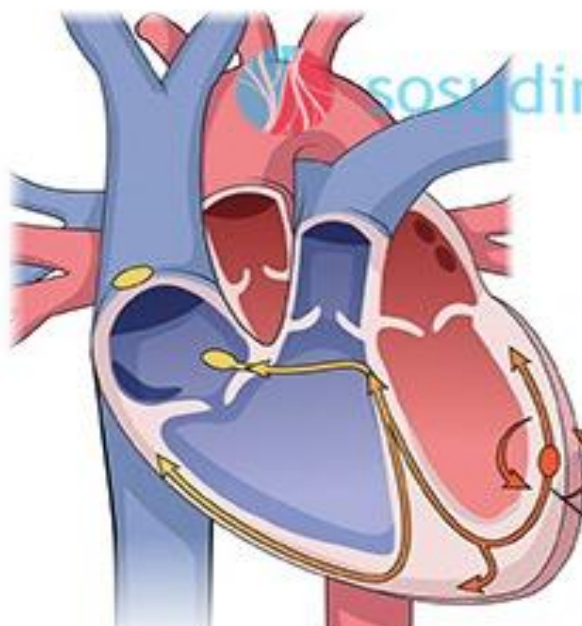




синусовый  
узел

АВ-узел

норма



очаг патологического возбуждения

желудочковая тахикардия



1mV/см 25мм/с

БЕЛЯКИН С Т, г.р.1962 17.08.2017 16:57

688

668

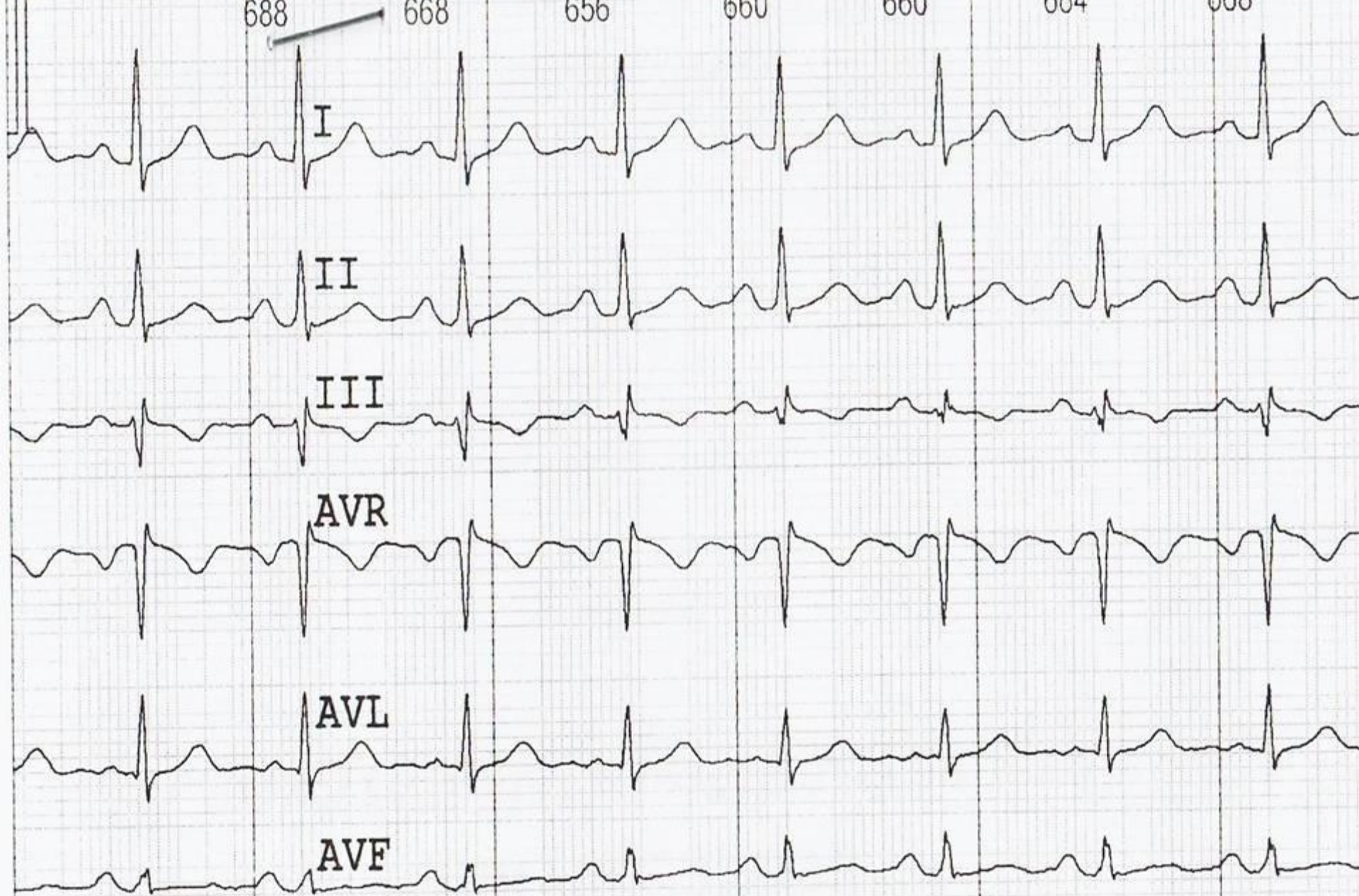
656

660

660

664

668



# ЖЕЛУДОЧКОВАЯ ТАХИКАРДИЯ

Синусовый узел

(единственный источник  
электрического  
импульса  
в норме)

Передние  
межузловые  
проводящие  
пути

Средние  
межузловые  
проводящие  
пути

Задние  
межузловые  
проводящие  
пути

Пучок Бахмана

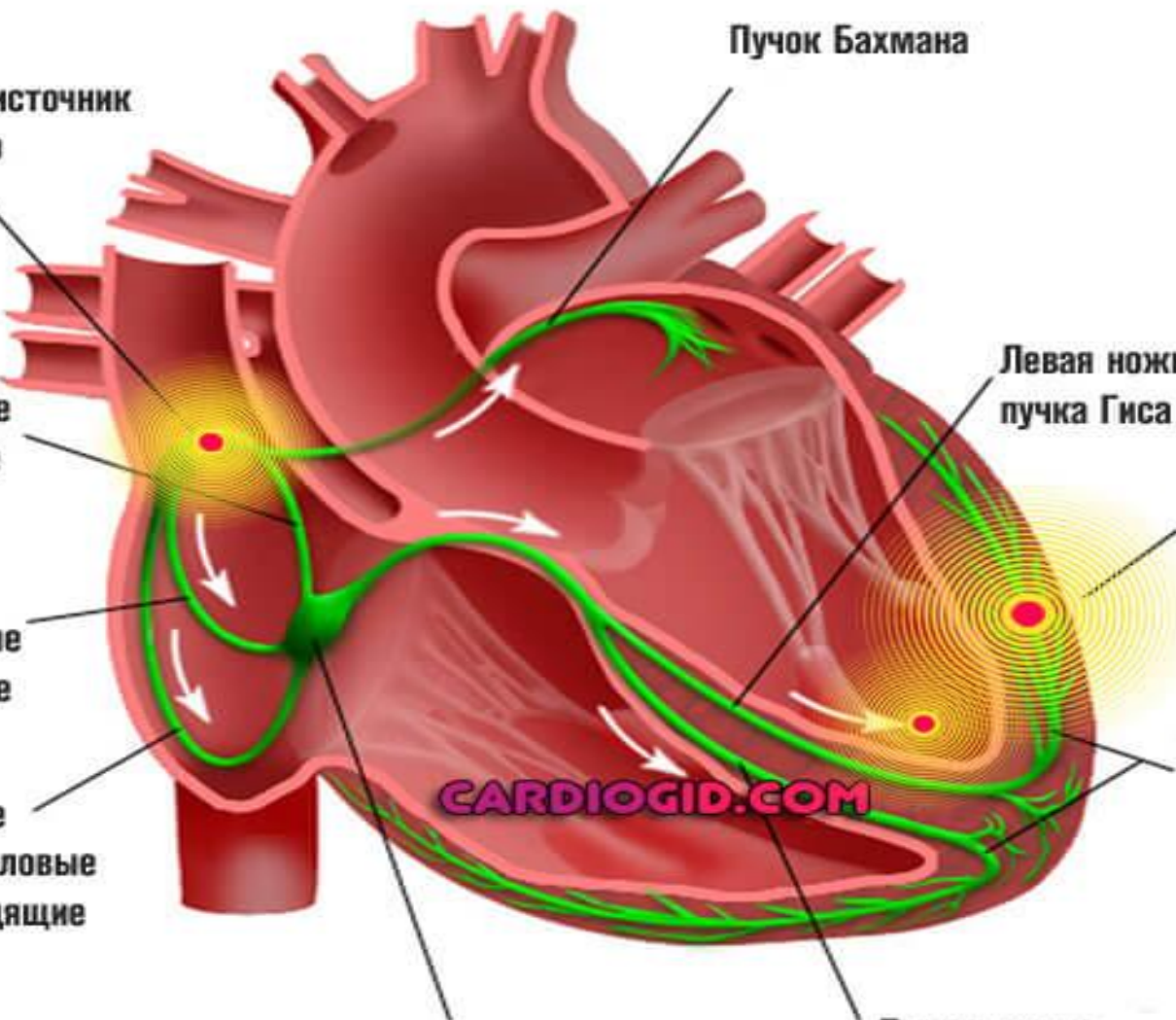
Левая ножка  
пучка Гиса

Патологический  
источник  
электрического  
импульса  
в левом  
желудочке

Проводящие  
волокна

Правая ножка  
пучка Гиса

Атриовентрикулярный узел



CARDIOGID.COM

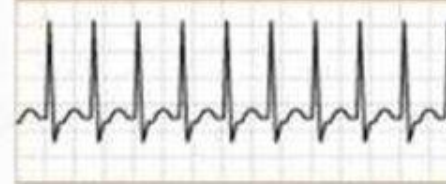
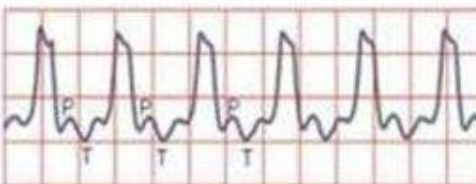
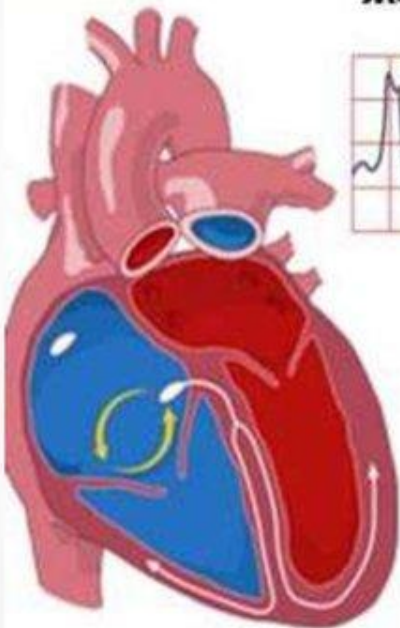
# Пароксизмальная тахикардия

## Пароксизмальная тахикардия

желудочковая

и

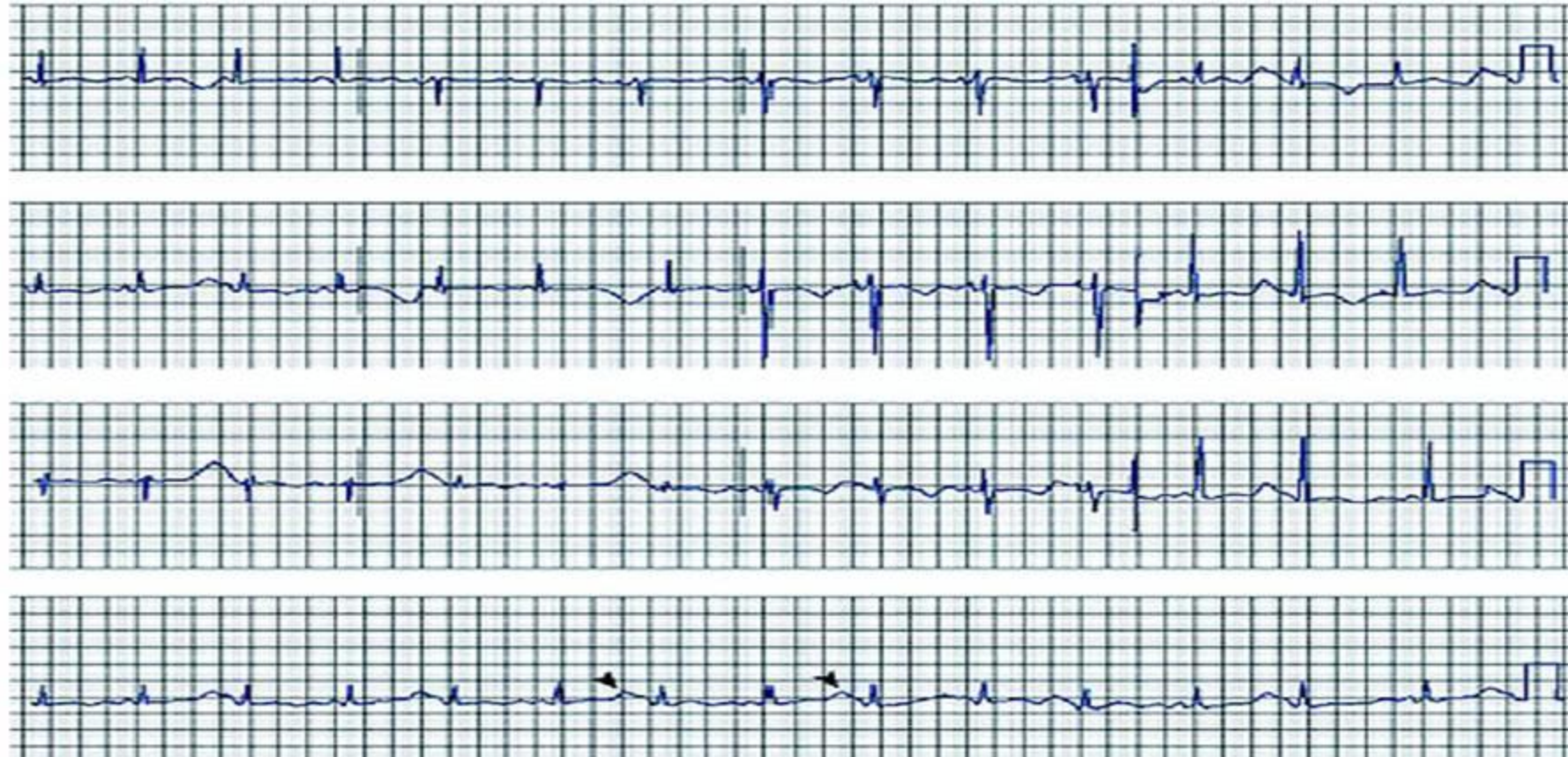
наджелудочковая



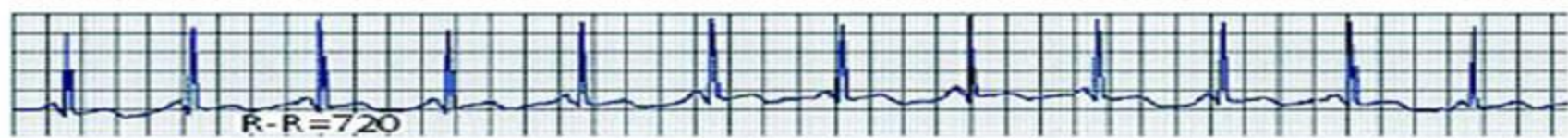
### Признаки на ЭКГ:

- Внезапное начало и внезапное окончание пароксизма.
- ЧСС от 140 ударов в минуту.
- Правильный (регулярный) ритм. QRS нормальные.
- При предсердной ПТ зубцы Р перед комплексами QRS, но сниженны или деформированы.
- При ПТ из AV-узла зубцы Р находятся после комплексов QRS или налагаются на них.

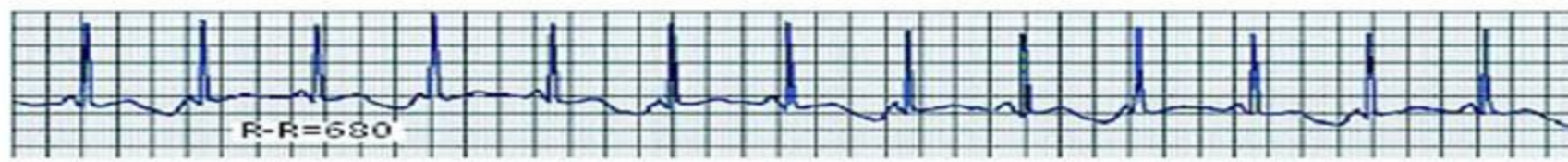
A



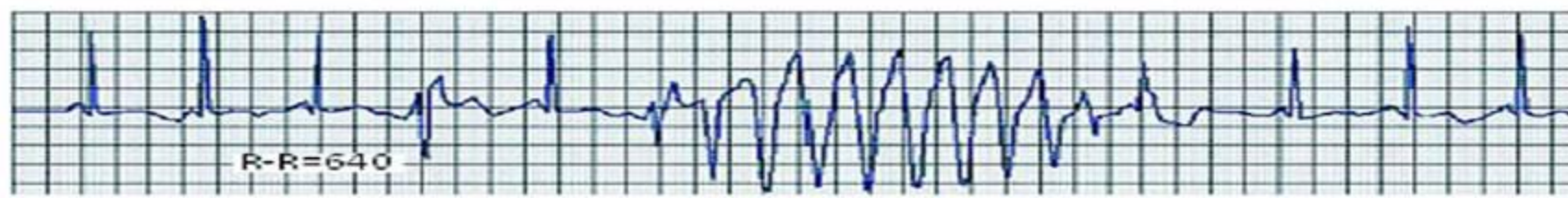
B



C



D



**Thank you very much for your attention!**

I would like to thank the Organizers for nice opportunity to attend this great Fourth International Conference Modeling of Non-Linear Processes and Systems 2019 in such a beautiful place like Moscow State University of Technology “STANKIN” !